

附录 A

节点法

在节点法^[20]中, 以供水管道出口温度为例, 分以下两步计算时间延迟与热损耗。

步骤 1: 不考虑管道热损耗时, 计算由入口历史温度的线性加权构成的管道出口虚拟温度:

$$\tau_{b,t}^{PS,out} = \sum_{k=t-\phi_{b,t}}^{t-\gamma_{b,t}} K_{b,t,k} \tau_{b,k}^{PS,in} \quad (A1)$$

式中: $\tau_{b,t}^{PS,in}$ 为 t 时刻管道 b 入口温度; $\tau_{b,t}^{PS,out}$ 为 t 时刻未考虑热损耗时管道 b 的出口温度; $K_{b,t,k}$ 为各个历史时间段入口温度的权重, 整数变量 $\gamma_{b,t}$ 、 $\phi_{b,t}$ 分别为时刻 t 、 $t-1$ 结束前历史水流流出管道 b 的时间间隔, 其由如下公式定义:

$$K_{b,t,k} = \begin{cases} (m_{b,t}^P \Delta t - S_{b,t} + \rho A_b L_b) / (m_{b,t}^P \Delta t), k = t - \phi_{b,t} \\ (m_{b,t}^P \Delta t) / (m_{b,t}^P \Delta t), k = t - \phi_{b,t} + 1, \dots, t - \gamma_{b,t} - 1 \\ (R_{b,t} - \rho A_b L_b) / (m_{b,t}^P \Delta t), k = t - \gamma_{b,t} \\ 0, \text{ otherwise} \end{cases} \quad (A2)$$

$$\gamma_{b,t} = \min_{n \in \mathbb{Z}} \left\{ n : s.t. \sum_{k=0}^n (m_{b,t-k}^P \cdot \Delta t) \geq \rho A_b L_b, n \geq 0 \right\} \quad (A3)$$

$$\phi_{b,t} = \min_{m \in \mathbb{Z}} \left\{ m : s.t. \sum_{k=1}^m (m_{b,t-k}^P \cdot \Delta t) \geq \rho A_b L_b, m \geq 0 \right\} \quad (A4)$$

$$R_{b,t} = \sum_{k=0}^{\gamma_{b,t}} (m_{b,t-k}^P \cdot \Delta t) \quad (A5)$$

$$S_{b,t} = \begin{cases} \sum_{k=0}^{\phi_{b,t}-1} (m_{b,t-k}^P \cdot \Delta t), & \text{if } \phi_{b,t} \geq \gamma_{b,t} + 1 \\ R_{b,t}, & \text{otherwise} \end{cases} \quad (A6)$$

式中: $R_{b,t}$ 为从时刻 $t - \gamma_{b,t}$ 到 t 时刻注入管道的水质量, $S_{b,t}$ 为从时刻 $t - \phi_{b,t} + 1$ 到时刻 t 注入管道 b 的水质量; L_b 为管道 b 的长度。

步骤 2: 计及热水在传输过程中由于与管壁进行热交换而发生的温度损失, 则管道出口温度应修正为:

$$\tau_{b,t}^{PS,out} = \tau_t^{am} + \left(\tau_{b,t}^{PS,out} - \tau_t^{am} \right) \times \exp \left[-\frac{\lambda_b \Delta t}{A_b \rho c} \left(\gamma_{b,t} + \frac{1}{2} + \frac{S_{b,t} - R_{b,t}}{m_{b,t-\gamma_{b,t}}^P \Delta t} \right) \right] \quad (A7)$$

式中: $\tau_{b,t}^{PS,out}$ 为考虑热损耗时时刻 t 管道 b 的出口温度。

在可变质量流量调节模式下, 式(A3)与(A4)的内部优化问题中含有变量 $m_{b,t}^P$ 、 $\gamma_{b,t}$ 与 $\phi_{b,t}$, 同时, 在外层优化问题式(A2)、(A5)、(A6)与(A7)中同样含有变量 $m_{b,t}^P$ 、 $\gamma_{b,t}$ 与 $\phi_{b,t}$, 因此, 式(A1)-(A7)为一个双层嵌套规划模型。此外, 由于 $\gamma_{b,t}$ 与 $\phi_{b,t}$ 为整数变量, 式(A2)与(A7)中含有非线性约束, 因此式(A1)-(A7)为混合整数非线性规划模型。

综上所述, 在可变质量流量调节模式下, 节点法描述管道动态特性的式(A1)-(A7)为一个双层嵌套混合整数变量的非线性规划, 在数学上具有挑战性。

DHS 约束

1. 区域供热系统约束

1) 燃气锅炉约束。

$$h_{h,t}^{HB} = \eta_h^{HB} f_{h,t}^{HB}, 0 \leq h_{h,t}^{HB} \leq \bar{h}_{h,t}^{HB} \quad (A8)$$

式中: $f_{h,t}^{HB}$ 、 η_h^{HB} 为燃气锅炉 h 的热功率、燃料转换系数; $\bar{h}_{h,t}^{HB}$ 为燃气锅炉 h 的热功率上限。

2) 温度安全约束。

$$\underline{\tau}_b^{NS} \leq \tau_{b,t,s}^{NS} \leq \bar{\tau}_b^{NS}, \underline{\tau}_b^{NR} \leq \tau_{b,t,x}^{NR} \leq \bar{\tau}_b^{NR} \quad (A9)$$

$$\underline{\tau}_n^{NS} \leq \tau_{n,t}^{NS} \leq \bar{\tau}_n^{NS}, \underline{\tau}_n^{NR} \leq \tau_{n,t}^{NR} \leq \bar{\tau}_n^{NR} \quad (A10)$$

式中: $\underline{\tau}_b^{NS}$ 、 $\bar{\tau}_b^{NS}$ 、 $\underline{\tau}_b^{NR}$ 、 $\bar{\tau}_b^{NR}$ 分别为供、回水管道 b 的温度上限与下限; $\underline{\tau}_n^{NS}$ 、 $\bar{\tau}_n^{NS}$ 分别为节点 n 温度的上限与下限。

3) 流量安全约束。

$$\overline{m}_{b,t}^P \leq m_{b,t}^P \leq \underline{m}_{b,t}^P \quad (A11)$$

式中: $\overline{m}_{b,t}^P$ 、 $\underline{m}_{b,t}^P$ 分别表示 t 时刻管道 b 质量流量的上限与下限。其中, 流量下限应满足 Courant-Friedrichs-Levy 条件^[22]:

$$\underline{m}_{b,t}^P \geq \frac{\Delta s A_b \rho}{\Delta t} \quad (A12)$$

耦合约束

IEHS 调度模型中的耦合设备约束:

1) CHP 机组出力约束。

常见的 CHP 机组包括背压式与抽汽式 2 种, 其出力约束都可以通过极值点线性组合表示:

$$p_{g,t}^{CHP} = \sum_{m=1}^{M_g} \alpha_{g,t}^m P_g^m \quad (A13)$$

$$h_{g,t}^{CHP} = \sum_{m=1}^{M_g} \alpha_{g,t}^m H_g^m \quad (A14)$$

$$\sum_{m=1}^{M_g} \alpha_{g,t}^m = 1, 0 \leq \alpha_{m,t}^m \leq 1 \quad (A15)$$

$$\underline{p}_g^{CHP} \leq p_{g,t}^{CHP} \leq \bar{p}_g^{CHP} \quad (A16)$$

式中: P_g^m 、 H_g^m 为 CHP 机组 g 的电功率与热功率的第 m 个极值点; $h_{g,t}^{CHP}$ 为 t 时刻 CHP 机组的 g 热功率; $\alpha_{g,t}^m$ 为 t 时刻 CHP 机组 g 第 m 个极值点的系数; M_g 为 CHP 机组 g 的极值点个数; \underline{p}_g^{CHP} 、 \bar{p}_g^{CHP} 分别为 CHP 机组 g 电功率的下限与上限。

2) CHP 机组爬坡约束。

$$-D_g^{CHP} \leq p_{g,t}^{CHP} - p_{g,t-1}^{CHP} \leq U_g^{CHP} \quad (A17)$$

式中: D_g^{CHP} 、 U_g^{CHP} 分别为 CHP 机组 g 爬坡的上限与下限。

EPS 目标函数

$$f_t^{TU}(x, \xi) = \sum_{i \in T^{TU}} \left[c_{i1}^{TU} (p_{i,t}^{TU})^2 + c_{i2}^{TU} p_{i,t}^{TU} + c_{i3}^{TU} \right] \\ = \sum_{i \in T^{TU}} \left[c_{i1}^{TU} (\tilde{p}_{i,t}^{TU} - \gamma_{i,t} \sum_{j \in \mathcal{E}^{WD}} \omega_{j,t}^{WD})^2 + \right. \quad (A18)$$

$$\left. c_{i2}^{TU} (\tilde{p}_{i,t}^{TU} - \gamma_{i,t} \sum_{j \in \mathcal{E}^{WD}} \omega_{j,t}^{WD}) + c_{i3}^{TU} \right] \quad (A19)$$

$$f_t^{RD}(x) = \sum_{i \in T^{TU}} c_i^{RD} (u_{i,t}^{TU} + d_{i,t}^{TU}) \quad (A20)$$

$$f_t^{WD}(x) = \sum_{j \in T^{WD}} r_j^{WD} v_{j,t}^{WD} \quad (A21)$$

$$f_t^{CHP}(x) = \sum_{g \in T^{CHP}} \sum_{m=1}^{M_g} (c_h^{CHP} \alpha_{g,t}^m) \quad (A22)$$

$$f_t^{HB}(x) = \sum_{h \in T^{HB}} r_h^{HB} f_{h,t}^{HB} \quad (A23)$$

式中: c_{i1}^{TU} 、 c_{i2}^{TU} 、 c_{i3}^{TU} 火电机组 i 的煤耗系数; c_i^{RD} 为火电机组 i 的旋转备用容量成本; r_j^{WD} 为风电机组 j 的弃风惩罚成本系数; $f_{h,t}^{HB}$ 、 r_h^{HB} 分别为 t 时刻燃气锅炉 h 的热功率与

成本系数; $\alpha_{g,t}^m$ 为 t 时刻 CHP 机组 g 第 m 个极值点的系数;

M_g 为 CHP 机组 g 的极值点个数; \mathcal{I}^{HB} 为燃气锅炉集合。

目标函数转化

通过假设(A23), 目标函数(32)通过强对偶性可转化为目标函数(A24)与约束(A25)-(A26)^[24]:

$$\left\| \left(\tilde{\mathbf{P}}_t^{WD}, \Omega_t \right) - \left(\hat{\mathbf{P}}_{n,t}^{WD}, \hat{\Omega}_{n,t} \right) \right\| = \left\| \tilde{\mathbf{P}}_t^{WD} - \hat{\mathbf{P}}_{n,t}^{WD} \right\| + \left\| \Omega_t - \hat{\Omega}_{n,t} \right\| \quad (A23)$$

$$\min \lambda^o \rho^o + \theta^o + \frac{1}{N\alpha} \sum_{n=1}^N \mu_n^o \quad (A24)$$

$$s.t. \mu_n^o + \theta^o + \lambda^o \left\| \tilde{\mathbf{P}}_t^{WD} - \hat{\mathbf{P}}_{n,t}^{WD} \right\| \geq \sup_{\Omega_t \in [\underline{\Omega}_t, \bar{\Omega}_t]} \left\{ \sum_{i \in \mathcal{I}^{TU}} \left\{ \max_{u \leq U} \left\{ d_{iu}^{TU} p_{i,t}^{TU} + e_{iu}^{TU} \right\} \right\} - \lambda^o \left\| \Omega_t - \hat{\Omega}_{n,t} \right\| \right\}, \forall n \leq N \quad (A25)$$

$$\mu_n^o \geq 0, \lambda \geq 0, \forall n \leq N \quad (A26)$$

式中: λ^o 、 θ^o 、 μ_n^o 均为 t 时刻目标函数中的辅助变量;
 $\bar{\Omega}_t$ 、 $\underline{\Omega}_t$ 分别为 t 时刻在预测出力已知时风电机组预测误差总和的上限与下限, $\hat{\Omega}_{n,t}$ 为 t 时刻样本 n 的预测误差总和, 具体公式为(A27):

$$\bar{\Omega}_t = \left\| \Delta \mathbf{P}_t^{WD} \right\|, \Omega_t = -\left\| \Delta \mathbf{P}_t^{WD} \right\|, \quad (A27)$$

$$\hat{\Omega}_{n,t} = \sum_{j \in \mathcal{I}^{WD}} \hat{\omega}_{j,n,t}$$

约束(A25)可以等效转化为(A28)-(A29):

$$\mu_n^o + \theta^o + \lambda^o \left\| \tilde{\mathbf{P}}_t^{WD} - \hat{\mathbf{P}}_{n,t}^{WD} \right\| \geq \varphi_n \quad (A28)$$

$$\varphi_n \geq \sup_{\Omega_t \in [\underline{\Omega}_t, \bar{\Omega}_t]} \left\{ \sum_{i \in \mathcal{I}^{TU}} \left\{ \max_{u \leq U} \left\{ d_{iu}^{TU} p_{i,t}^{TU} + e_{iu}^{TU} \right\} \right\} - \lambda^o \left\| \Omega_t - \hat{\Omega}_{n,t} \right\| \right\} \quad (A29)$$

为求解约束(A29), 根据 $\hat{\Omega}_{n,t}$ 将历史样本数据拆分为三个集合 $\underline{\mathcal{N}}$, $\bar{\mathcal{N}}$, \mathcal{N} :

$$\begin{aligned} \underline{\mathcal{N}} &\triangleq \left\{ n \leq N : \hat{\Omega}_{n,t} \leq \underline{\Omega}_t \right\}, \\ \bar{\mathcal{N}} &\triangleq \left\{ n \leq N : \hat{\Omega}_{n,t} \geq \bar{\Omega}_t \right\}, \\ \mathcal{N} &\triangleq \left\{ n \leq N : \underline{\Omega}_t \leq \hat{\Omega}_{n,t} \leq \bar{\Omega}_t \right\} \end{aligned} \quad (A30)$$

将(A30)代入(A29), 并引入辅助变量 \hat{t}_{ni} 、 \underline{t}_{ni} 、 \bar{t}_{ni} , 因此, 目标函数(32)中含随机变量的期望项可以转换为线性目标函数(A31)与线性约束(A32)-(A43)^[24]:

$$\min \lambda^o \rho^o + \theta^o + \frac{1}{N\alpha} \sum_{n=1}^N \mu_n^o \quad (A31)$$

$$s.t. \mu_n^o + \theta^o + \lambda^o \left\| \tilde{\mathbf{P}}_t^{WD} - \hat{\mathbf{P}}_{n,t}^{WD} \right\| \geq \varphi_n, \quad (A32)$$

$$\varphi_n \geq \sum_{i \in \mathcal{I}^{TU}} \underline{t}_{ni} - \lambda \left(\underline{\Omega}_t - \hat{\Omega}_{n,t} \right), n \in \underline{\mathcal{N}} \quad (A33)$$

$$\varphi_n \geq \sum_{i \in \mathcal{I}^{TU}} \bar{t}_{ni} - \lambda^o \left(\bar{\Omega}_t - \hat{\Omega}_{n,t} \right), n \in \bar{\mathcal{N}} \quad (A34)$$

$$\varphi_n \geq \sum_{i \in \mathcal{I}^{TU}} \underline{t}_{ni} + \lambda^o \left(\underline{\Omega}_t - \hat{\Omega}_{n,t} \right), n \in \bar{\mathcal{N}} \quad (A35)$$

$$\varphi_n \geq \sum_{i \in \mathcal{I}^{TU}} \bar{t}_{ni} + \lambda^o \left(\bar{\Omega}_t - \hat{\Omega}_{n,t} \right), n \in \bar{\mathcal{N}} \quad (A36)$$

$$\varphi_n \geq \sum_{i \in \mathcal{I}^{TU}} \bar{t}_{ni} - \lambda^o \left(\bar{\Omega}_t - \hat{\Omega}_{n,t} \right), n \in \bar{\mathcal{N}} \quad (A37)$$

$$\varphi_n \geq \sum_{i \in \mathcal{I}^{TU}} \underline{t}_{ni} + \lambda^o \left(\underline{\Omega}_t - \hat{\Omega}_{n,t} \right), n \in \mathcal{N} \quad (A38)$$

$$\varphi_n \geq \sum_{i \in \mathcal{I}^{TU}} \hat{t}_{ni}, n \in \mathcal{N} \quad (A39)$$

$$\hat{t}_{ni} \geq d_{iu}^{TU} \left(\tilde{p}_{i,t}^{TU} - \gamma_{i,t} \hat{\Omega}_{n,t} \right) + e_{iu}^{TU}, \quad n \leq N, u \leq U, i \in \mathcal{I}^{TU} \quad (A40)$$

$$\underline{t}_{ni} \geq d_{iu}^{TU} \left(\tilde{p}_{i,t}^{TU} - \gamma_{i,t} \underline{\Omega}_t \right) + e_{iu}^{TU}, \quad n \leq N, u \leq U, i \in \mathcal{I}^{TU} \quad (A41)$$

$$\bar{t}_{ni} \geq d_{iu}^{TU} \left(\tilde{p}_{i,t}^{TU} - \gamma_{i,t} \bar{\Omega}_t \right) + e_{iu}^{TU}, \quad n \leq N, u \leq U, i \in \mathcal{I}^{TU} \quad (A42)$$

$$\mu_n^o \geq 0, \lambda \geq 0, \forall n \leq N \quad (A43)$$

联合机会约束转化

由文献[26]可知, 联合机会约束(34)可表示为:

$$\begin{cases} \tau + \frac{1}{\epsilon} \left[\lambda \rho + \theta + \frac{1}{N\alpha} \sum_{n=1}^N \mu_n \right] \leq 0, \\ \lambda \geq 0, \mathbf{a}_{R+1} = \mathbf{b}_{R+1} = 0, \\ \forall n \leq N, r \leq R+1: \\ \left\{ \begin{aligned} \mu_n + \theta + \lambda \left\| \tilde{\mathbf{P}}_t^{WD} - \hat{\mathbf{P}}_{n,t}^{WD} \right\| &\geq \mathbf{b}_r - \tau \\ &+ S_{\Xi^t}(\mathbf{v}_{n,r}) - \gamma_{n,r} \hat{\omega}_i, \\ \gamma_{n,r} - \mathbf{v}_{n,r} &= -\mathbf{a}_r, \\ \left\| \gamma_{n,r} \right\|_{\infty} &\leq \lambda \end{aligned} \right. \end{cases} \quad (A44)$$

式中: μ_n 、 θ 、 λ 、 τ 、 $\gamma_{n,r}$ 、 $\mathbf{v}_{n,r}$ 为 t 时刻的联合机会约束的辅助变量; $S_{\Xi^t}(\mathbf{v}_{i,k})$ 为 $\mathbf{v}_{n,r}$ 在 Ξ^t 上的支撑函数, 定义为:

$$S_{\Xi^t}(\mathbf{v}_{n,r}) \triangleq \sup_{x \in \Xi_{\omega}} x^T \mathbf{v}_{n,r} \quad (A45)$$

在本文中, 条件支撑集为由风电出力上下限构成的多面体集合, 因此 $S_{\Xi_{\omega}}(\mathbf{v}_{i,k})$ 可以表达为:

$$S_{\Xi^t}(\mathbf{v}_{n,r}) = \begin{cases} \sup_{\Xi^t} \left\{ \Delta \mathbf{P}_t^{WD} \mathbf{v}_{n,r} - \Delta \mathbf{P}_t^{WD} \mathbf{v}_{n,r} \right\} \\ s.t. \mathbf{v}_{n,r} = \bar{\mathbf{v}}_{n,r} - \underline{\mathbf{v}}_{n,r}, \bar{\mathbf{v}}_{n,r} \geq 0, \underline{\mathbf{v}}_{n,r} \geq 0, \end{cases} \quad (A46)$$

式中: $\bar{\mathbf{v}}_{n,r}$ 、 $\underline{\mathbf{v}}_{n,r}$ 均为引入的辅助变量。

将(A46)代入(A45)中, 即可得:

$$\begin{cases} \tau + \frac{1}{\epsilon} \left[\lambda \rho + \theta + \frac{1}{N\alpha} \sum_{n=1}^N \mu_n \right] \leq 0 \\ \lambda \geq 0, \mathbf{a}_{R+1} = \mathbf{b}_{R+1} = 0, \\ \forall n \leq N, r \leq R+1: \\ \left\{ \begin{aligned} \mu_n + \theta + \lambda \left\| \tilde{\mathbf{P}}_t^{WD} - \hat{\mathbf{P}}_{n,t}^{WD} \right\| &\geq \mathbf{b}_r - \tau \\ &+ \gamma_{n,r} \hat{\omega}_i + \Delta \mathbf{P}_t^{WD} \mathbf{v}_{n,r} - \Delta \mathbf{P}_t^{WD} \mathbf{v}_{n,r}, \\ \mathbf{v}_{n,r} &= \bar{\mathbf{v}}_{n,r} - \underline{\mathbf{v}}_{n,r}, \gamma_{n,r} - \mathbf{v}_{n,r} = -\mathbf{a}_r, \\ \left\| \gamma_{n,r} \right\|_{\infty} &\leq \lambda, \mu_n \geq 0, \bar{\mathbf{v}}_{n,r} \geq 0, \underline{\mathbf{v}}_{n,r} \geq 0 \end{aligned} \right. \end{cases} \quad (A47)$$

鲁棒约束转化

在鲁棒约束中, 存在相邻 2 个调度周期的耦合约束, 其一般形式可总结为:

$$\begin{aligned}
& \mathbf{c}_t^\top \mathbf{z}_t + \mathbf{c}_{t-1}^\top \mathbf{z}_{t-1} \leq \mathbf{d}_t + \mathbf{d}_{t-1}, \\
& [\mathbf{c}_t; \mathbf{d}_t] = [\mathbf{c}_t^0; \mathbf{d}_t^0] + \sum_{j \in \mathcal{E}^{WD}} \omega_{j,t}^{WD} [\mathbf{c}_t^j; \mathbf{d}_t^j], \\
& [\mathbf{c}_{t-1}; \mathbf{d}_{t-1}] = [\mathbf{c}_{t-1}^0; \mathbf{d}_{t-1}^0] + \sum_{j \in \mathcal{E}^{WD}} \omega_{j,t-1}^{WD} [\mathbf{c}_{t-1}^j; \mathbf{d}_{t-1}^j]
\end{aligned} \quad (\text{A48})$$

式中: \mathbf{z}_t 为 t 时刻 $(\tilde{p}_{i,t}^{TU}, \gamma_{i,t})$ 构成的向量; \mathbf{c}_t 、 \mathbf{d}_t 为 t 时刻的系数矩阵; \mathbf{c}_t^0 、 \mathbf{d}_t^0 为 t 时刻与随机变量无关的系数矩阵; \mathbf{c}_t^j 、 \mathbf{d}_t^j 为 t 时刻随机变量 j 的系数矩阵。

由于式(A48)需要对条件支撑集 Ξ^t 中所有的随机变量成立, 因此:

$$\begin{aligned}
& \max_{\tilde{\mathbf{H}}_t, \boldsymbol{\omega}_t \leq \mathbf{h}_t} \left\{ \sum_{j \in \mathcal{E}^{WD}} \xi_{j,t}^{WD} [(\mathbf{c}_t^j)^\top \mathbf{z}_t - \mathbf{d}_t^j] \right\} + \\
& \max_{\tilde{\mathbf{H}}_{t-1}, \boldsymbol{\omega}_{t-1} \leq \mathbf{h}_{t-1}} \left\{ \sum_{j \in \mathcal{E}^{WD}} \xi_{j,t-1}^{WD} [(\mathbf{c}_{t-1}^j)^\top \mathbf{z}_{t-1} - \mathbf{d}_{t-1}^j] \right\} \leq
\end{aligned} \quad (\text{A49})$$

式(A49)中, 最大值可以表示为:

$$\begin{aligned}
& \sum_{j \in \mathcal{E}^{WD}} h_{j,t}^{RO} |(\mathbf{c}_t^j)^\top \mathbf{z}_t - \mathbf{d}_t^j| + \\
& \sum_{j \in \mathcal{E}^{WD}} h_{j,t-1}^{RO} |(\mathbf{c}_{t-1}^j)^\top \mathbf{z}_{t-1} - \mathbf{d}_{t-1}^j|, \\
& h_{j,t}^{RO} = \max \left\{ \Delta p_{j,t}^{-WD}, -\Delta p_{j,t}^{WD} \right\}, \\
& h_{j,t-1}^{RO} = \max \left\{ \Delta p_{j,t-1}^{-WD}, -\Delta p_{j,t-1}^{WD} \right\}
\end{aligned} \quad (\text{A50})$$

将(A50)带入(A49)中可得:

$$\begin{aligned}
& (\mathbf{c}_t^0)^\top \mathbf{z}_t + (\mathbf{c}_{t-1}^0)^\top \mathbf{z}_{t-1} + \sum_{j \in \mathcal{E}^{WD}} h_{j,t}^{RO} |(\mathbf{c}_t^j)^\top \mathbf{z}_t - \mathbf{d}_t^j| \\
& + \sum_{j \in \mathcal{E}^{WD}} h_{j,t-1}^{RO} |(\mathbf{c}_{t-1}^j)^\top \mathbf{z}_{t-1} - \mathbf{d}_{t-1}^j| \leq \mathbf{d}_t^0 + \mathbf{d}_{t-1}^0
\end{aligned} \quad (\text{A51})$$

因此, 引入辅助变量 \mathbf{u}_t^j 以消除(A51)中的绝对值函数, 即:

$$\begin{cases} -\mathbf{u}_t^j \leq (\mathbf{c}_t^j)^\top \mathbf{z}_t - \mathbf{d}_t^j \leq \mathbf{u}_t^j, \\ -\mathbf{u}_{t-1}^j \leq (\mathbf{c}_{t-1}^j)^\top \mathbf{z}_{t-1} - \mathbf{d}_{t-1}^j \leq \mathbf{u}_{t-1}^j, \\ (\mathbf{c}_t^0)^\top \mathbf{z}_t + (\mathbf{c}_{t-1}^0)^\top \mathbf{z}_{t-1} + \sum_{j \in \mathcal{E}^{WD}} h_{j,t}^{RO} \mathbf{u}_t^j \\ + \sum_{j \in \mathcal{E}^{WD}} h_{j,t-1}^{RO} \mathbf{u}_{t-1}^j \leq \mathbf{d}_t^0 + \mathbf{d}_{t-1}^0 \end{cases} \quad (\text{A52})$$

式中: \mathbf{u}_t 、 \mathbf{u}_{t-1} 为 t 时刻鲁棒约束中的辅助变量; $h_{j,t}^{RO}$ 定义为 $h_{j,t}^{RO} = \max \left\{ \Delta p_{j,t}^{-WD}, -\Delta p_{j,t}^{WD} \right\}$ 。

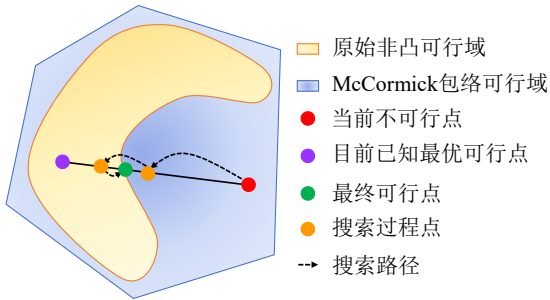


图 A1 二分搜索算法示意图
Fig. A1 Illustration of the binary search algorithm

表 A1 自适应 McCormick 算法伪代码

Table A1 Pseudo code of adaptive McCormick algorithm

```

1: 输入:  $\delta, K, \mu, \underline{m}_{b,d}^P, \underline{m}_{n,d}^N, \overline{m}_{b,d}^P, \overline{m}_{n,d}^N, \underline{\tau}_{b,d,s}^{PS}, \underline{\tau}_{b,d,s}^{PR}, \underline{\tau}_{n,d}^{NS}, \underline{\tau}_{n,d}^{NR}, \overline{\tau}_{b,d,s}^{PS}, \overline{\tau}_{b,d,s}^{PR}, \overline{\tau}_{n,d}^{NS}, \overline{\tau}_{n,d}^{NR}$ 
   初始化:  $\overline{o}_{bj} \leftarrow 10^{10}, \underline{o}_{bj} \leftarrow 0, n \leftarrow 1$ 
2: 定义:  $m_{NP} \triangleq [m_{b,d}^P, m_{n,d}^N], \forall n, b, t$ 
   定义:  $\tau_{NP} \triangleq [\tau_{b,d,s}^{PS}, \tau_{b,d,s}^{PR}, \tau_{n,d}^{NS}, \tau_{n,d}^{NR}], \forall n, b, t, s$ 
3: while  $(\overline{o}_{bj} - \underline{o}_{bj}) / \overline{o}_{bj} \geq \delta$  do
4:   求解凸模型(40)–(42), 获得最优解  $x_N^*, o_{bj}^*$ , 令
      $\underline{o}_{bj} \leftarrow o_{bj}^*$ 
5:   固定  $m_{NP} = m_{NP}^*$ , 求解线性模型(35)–(38)
6:   if 模型(35)–(38)可行
7:     获得  $x_N^*, o_{bj}^*$ , 令  $\overline{o}_{bj} = o_{bj}^*, \tilde{x}_N \leftarrow x_N^*$ 
8:   else
9:     采取二分搜索算法, 获得  $x_N^*, o_{bj}^*$ , 令  $\overline{o}_{bj} \leftarrow o_{bj}^*, \tilde{x}_N \leftarrow x_N^*$ 
10:  end
11:  $\underline{m}_{NP} \leftarrow \max \{ (1-\kappa) \underline{m}_{NP}^*, \underline{m}_{NP} \}$ 
12:  $\overline{m}_{NP} \leftarrow \min \{ (1+\kappa) \overline{m}_{NP}^*, \overline{m}_{NP} \}$ 
13:  $\underline{\tau}_{NP} \leftarrow \max \{ (1-\kappa) \underline{\tau}_{NP}^*, \underline{\tau}_{NP} \}$ 
14:  $\overline{\tau}_{NP} \leftarrow \min \{ (1+\kappa) \overline{\tau}_{NP}^*, \overline{\tau}_{NP} \}$ 
15:  $\kappa \leftarrow \kappa - \mu$ 
16:  $n \leftarrow n + 1$ 
17: end
18: 输出:  $x_N^*, o_{bj}^*$ 

```

表 A2 二分搜索算法伪代码

Tab.A2 The pseudo code of the binary search algorithm

```

1: 输入: 一组质量流量可行解  $\tilde{m}_{NP}$ , 当前质量流量的非可行解  $m_{NP}^*$ , 收敛残差  $\varepsilon_1, \eta_{\max} = 1, \eta_{\min} = 0$ 
2: while  $\eta_{\max} - \eta_{\min} \leq \varepsilon_1$  do
3:    $\eta_k \leftarrow 0.5(\eta_{\min} + \eta_{\max})$ 
4:   固定  $m_{NP} = m_{NP}^* + \eta_k(\tilde{m}_{NP} - m_{NP}^*)$ , 求解模型(35)
5:   if 模型(35)可行
6:      $\eta_{\min} \leftarrow \eta_k$ 
7:   else
8:      $\eta_{\max} \leftarrow \eta_k$ 
9:   end
10: end
11: 令  $m_{NP} = m_{NP}^* + \eta_{\max}(\tilde{m}_{NP} - m_{NP}^*)$ , 求解模型(35), 获得  $x_N^*, obj^*$ 
12: 输出:  $x_N^*, obj^*$ 

```

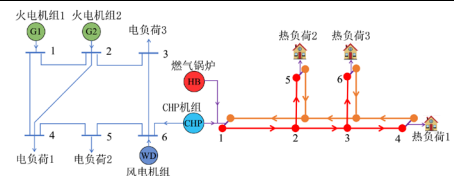


图 A2 算例系统结构图
Fig. A2 Example system structure diagram